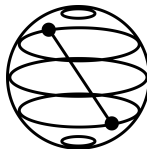
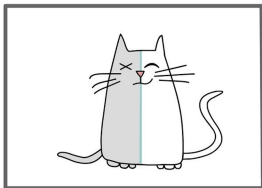


Aprendizaje automático cuántico

Mayra Alejandra Rivera Ruiz

mrivera@gdl.cinvestav.mx



July 24, 2020

Conceptos básicos de la Mecánica cuántica

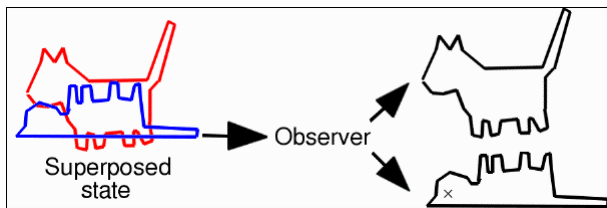
Computación cuántica

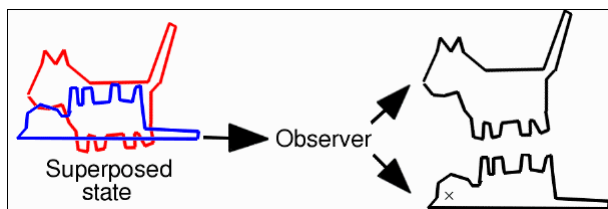
Aprendizaje automático cuántico

Gradiente descendente cuántico natural

QNN

Redes neuronales híbridas





Función de onda:

$$|\psi\rangle = \frac{|\text{Gato muerto}\rangle + |\text{Gato vivo}\rangle}{\sqrt{2}}$$

- ▶ Los únicos valores que pueden resultar de una medida del observable físico A son los valores propios a_i de la ecuación $A\psi_i = a_i\psi_i$.
- ▶ Cualquier función de estado puede expresarse como combinación lineal de los estados propios de A .

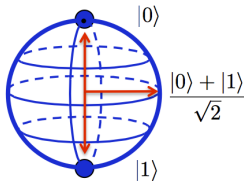
$$\Psi = \sum c_i \psi_i$$

donde $|c_i|^2 = |\langle \psi_i | \Psi \rangle|^2$ es la probabilidad de medir ψ_i .

● 0

● 1

Classical Bit



Qubit

La base ortonormal $\{|0\rangle, |1\rangle\}$ se puede expresar como:

$$|0\rangle = \begin{pmatrix} 1 \\ 0 \end{pmatrix}, \quad |1\rangle = \begin{pmatrix} 0 \\ 1 \end{pmatrix}$$

La función de onda del qubit es:

$$|\Psi\rangle = \alpha |0\rangle + \beta |1\rangle$$

- ▶ $|\alpha|^2$: Nos dice la probabilidad de encontrar $|\Psi\rangle$ en el estado $|0\rangle$
- ▶ $|\beta|^2$: Nos dice la probabilidad de encontrar $|\Psi\rangle$ en el estado $|1\rangle$
- ▶ α y β satisfacen:

$$|\alpha|^2 + |\beta|^2 = 1$$

- ▶ Matemáticamente, para entender un sistema multipartícula, es necesario construir un espacio de Hilbert que es una composición de diferentes espacios de Hilbert independientes que están asociados a cada partícula.
- ▶ La maquinaria requerida para hacer esto es el producto tensorial.

Para el caso de dos qubits:

$$|00\rangle = |0\rangle \otimes |0\rangle = \begin{pmatrix} 1 \\ 0 \end{pmatrix} \otimes \begin{pmatrix} 1 \\ 0 \end{pmatrix} = \begin{pmatrix} 1 \begin{pmatrix} 1 \\ 0 \end{pmatrix} \\ 0 \begin{pmatrix} 1 \\ 0 \end{pmatrix} \end{pmatrix} = \begin{pmatrix} 1 \\ 0 \\ 0 \\ 0 \end{pmatrix}$$

Similarmente,

$$|01\rangle = \begin{pmatrix} 0 \\ 1 \\ 0 \\ 0 \end{pmatrix}$$

$$|10\rangle = \begin{pmatrix} 0 \\ 0 \\ 1 \\ 0 \end{pmatrix}$$

$$|11\rangle = \begin{pmatrix} 0 \\ 0 \\ 0 \\ 1 \end{pmatrix}$$

$$|\psi\rangle = \frac{i}{2} |0\rangle + \frac{\sqrt{3}}{2} |1\rangle$$

Encontramos que la probabilidad de encontrar el sistema en el estado $|0\rangle$

$$p_0 = \left| \frac{i}{2} \right|^2 = \left(\frac{i}{2} \right)^* \left(\frac{i}{2} \right) = \left(\frac{-i}{2} \right) \left(\frac{i}{2} \right) = \frac{1}{4}$$

Similarmente, la probabilidad de que el sistema se encuentre en el estado $|1\rangle$ es

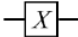
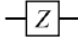
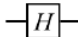
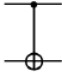
$$p_1 = \left| \frac{\sqrt{3}}{2} \right|^2 = \frac{3}{4}$$

Comprobando la suma de probabilidades:

$$\sum p_i = p_0 + p_1 = \frac{1}{4} + \frac{3}{4} = 1$$

En mecánica cuántica, podemos actuar sobre un estado $|\Psi\rangle$ con una transformación unitaria \hat{U} . Esta transformación será el análogo a una compuerta lógica de un qubit.



Gate	Notation	Matrix
NOT (Pauli- X)		$\begin{bmatrix} 0 & 1 \\ 1 & 0 \end{bmatrix}$
Pauli- Z		$\begin{bmatrix} 1 & 0 \\ 0 & -1 \end{bmatrix}$
Hadamard		$\frac{1}{\sqrt{2}} \begin{bmatrix} 1 & 1 \\ 1 & -1 \end{bmatrix}$
CNOT (Controlled NOT)		$\begin{bmatrix} 1 & 0 & 0 & 0 \\ 0 & 1 & 0 & 0 \\ 0 & 0 & 0 & 1 \\ 0 & 0 & 1 & 0 \end{bmatrix}$

$$X = U_{NOT} = \begin{pmatrix} 0 & 1 \\ 1 & 0 \end{pmatrix}$$

$$U_{NOT} |0\rangle = \begin{pmatrix} 0 & 1 \\ 1 & 0 \end{pmatrix} \begin{pmatrix} 1 \\ 0 \end{pmatrix} = \begin{pmatrix} 0 \\ 1 \end{pmatrix} = |1\rangle$$

$$U_{NOT} |1\rangle = \begin{pmatrix} 0 & 1 \\ 1 & 0 \end{pmatrix} \begin{pmatrix} 0 \\ 1 \end{pmatrix} = \begin{pmatrix} 1 \\ 0 \end{pmatrix} = |0\rangle$$

Un importante paso en los algoritmos cuánticos es el uso de las compuertas Hadamard para crear estados superpuestos.

$$H|0\rangle = \frac{|0\rangle + |1\rangle}{\sqrt{2}}$$

$$H|1\rangle = \frac{|0\rangle - |1\rangle}{\sqrt{2}}$$



En general, la aplicación de $H^{\otimes n}$ a un estado de productos de n copias de $|0\rangle$ es

$$H^{\otimes n}(|0\rangle^{\otimes n}) = \frac{1}{\sqrt{2^n}} \sum_{x \in \{0,1\}^n} |x\rangle$$

Ejemplo:

$$\begin{aligned}(H \otimes H) |0\rangle |0\rangle &= (H |0\rangle)(H |0\rangle) \\&= \left(\frac{|0\rangle + |1\rangle}{\sqrt{2}} \right) \left(\frac{|0\rangle + |1\rangle}{\sqrt{2}} \right) \\&= \frac{1}{2}(|00\rangle + |01\rangle + |10\rangle + |11\rangle)\end{aligned}$$

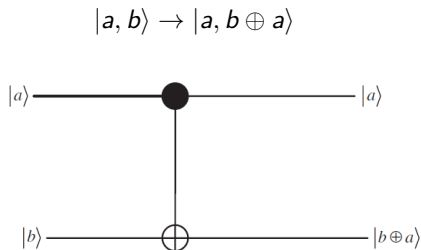
$$CN = \begin{pmatrix} 1 & 0 & 0 & 0 \\ 0 & 1 & 0 & 0 \\ 0 & 0 & 0 & 1 \\ 0 & 0 & 1 & 0 \end{pmatrix}$$

$$|00\rangle \rightarrow |00\rangle$$

$$|01\rangle \rightarrow |01\rangle$$

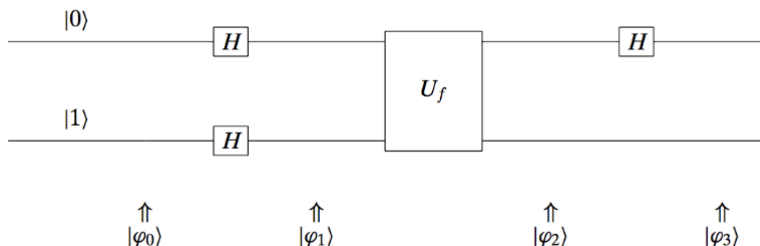
$$|10\rangle \rightarrow |11\rangle$$

$$|11\rangle \rightarrow |10\rangle$$



$$U_f |x, y\rangle = |x, y \oplus f(x)\rangle$$

$$|\Psi_{out}\rangle = (H \otimes I) U_f (H \otimes H) |0\rangle |1\rangle$$



$$|\psi_{out}\rangle = -|0\rangle \left(\frac{|0\rangle - |1\rangle}{\sqrt{2}} \right) \quad (f(0) = f(1))$$

$$|\psi_{out}\rangle = \pm |1\rangle \left(\frac{|0\rangle - |1\rangle}{\sqrt{2}} \right) \quad (f(0) \neq f(1))$$

Computadoras cuánticas disponibles:

- ▶ `bmq_16_melbourne` (15 qubits)
- ▶ `bmq_essex` (5 qubits)
- ▶ `bmq_burlington` (5 qubits)
- ▶ `bmq_london` (5 qubits)
- ▶ `bmq_vigo` (5 qubits)
- ▶ `bmq_ourense` (5 qubits)
- ▶ `bmq_5_yorktown-ibmqx2` (5 qubits)
- ▶ `bmq_armonk` (1 qubit)

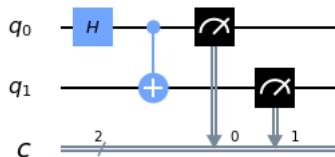


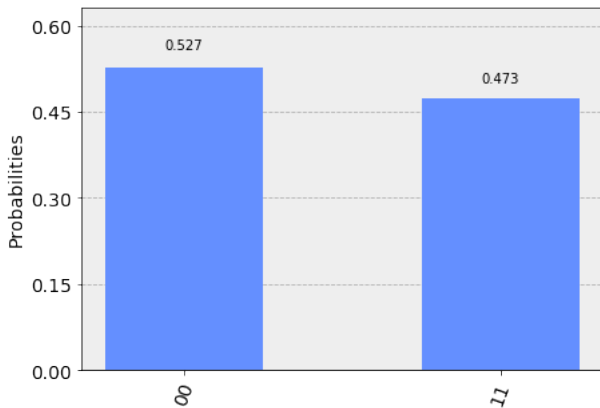
$$H|0\rangle = \frac{|0\rangle + |1\rangle}{\sqrt{2}}$$

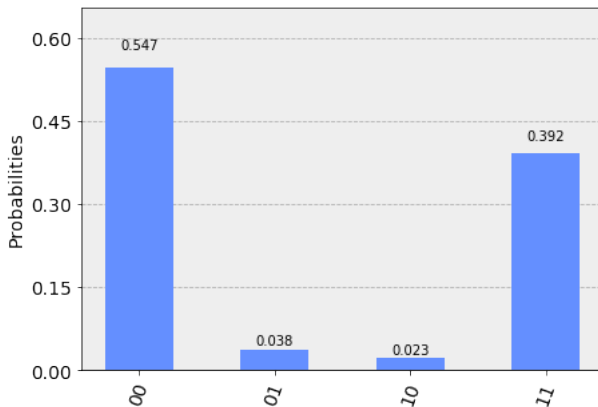
$$|\psi_1\rangle = H|0\rangle \otimes |0\rangle = \frac{|00\rangle + |10\rangle}{\sqrt{2}}$$

$$|\psi\rangle = U_{CNOT} |\psi_1\rangle = \frac{|00\rangle + |11\rangle}{\sqrt{2}}$$

$$P_{00} = P_{11} = \left| \frac{1}{\sqrt{2}} \right|^2 = 0.5$$







Algunos algoritmos cuánticos presentan una notable superioridad respecto a su contraparte clásica.

- ▶ La búsqueda en una base de datos desordenada (algoritmo de Grover)
- ▶ La factorización de números grandes (algoritmo de Shor)

Para realizar una computación con estados cuánticos necesitamos:

- ▶ Una colección finita de qubits, cuyo estado inicial corresponde al input.
- ▶ Un circuito de compuertas cuánticas, diseñado para ejecutar una transformación unitaria sobre el estado inicial de los qubits.
- ▶ Finalmente, se debe realizar una medición sobre los qubits.

Machine learning interfaces



NumPy



TensorFlow



PyTorch

P E N N Y L A N E



Qiskit



Cirq

rigetti



Microsoft

STRAWBERRY
FIELDS

Quantum hardware and simulators

Planteamiento del problema

$$\min_{\theta \in \mathbb{R}^d} \mathcal{L}(\theta) = \min_{\theta \in \mathbb{R}^d} \frac{1}{2} \langle \psi_\theta, H \psi_\theta \rangle$$

donde $\psi_\theta = U_\theta |0\rangle$.

Expresión matemática

$$\theta_{t+1} = \theta_t - \mu g^+(\theta_t) \nabla L(\theta_t)$$

donde g es la parte real del Tensor Geométrico Cuántico, el cual, para este caso se expresa como:

$$G_{ij}^{(I)} = \langle \psi_I | K_i K_j | \psi_I \rangle - \langle \psi_I | K_i | \psi_I \rangle \langle \psi_I | K_j | \psi_I \rangle .$$

► Tensor Geométrico

$$G_{ij}(\theta) = \left\langle \frac{\partial \psi_\theta}{\partial \theta^i}, \frac{\partial \psi_\theta}{\partial \theta^j} \right\rangle - \left\langle \frac{\partial \psi_\theta}{\partial \theta^i}, \psi_\theta \right\rangle \left\langle \psi_\theta, \frac{\partial \psi_\theta}{\partial \theta^j} \right\rangle = g_{\mu\nu} + iF_{\mu\nu}/2 \quad (1)$$

- Parte real= Fubini-Study metric tensor

$$g_{ij} = \text{Re} [G_{ij}] \quad (2)$$

- Parte imaginaria= Curvatura de Berry

$$F_{ij} = -2\text{Im} [G_{ij}] \quad (3)$$

- El tensor geométrico cuántico describe la geometría del manifold del estado cuántico.

Notación:

Consideremos un operador unitario actuando sobre n qubits de la siguiente forma

$$U_L(\theta) := V_L(\theta_L)W_L \cdots V_1(\theta_1)W_1 , \quad (4)$$

Introducimos la siguiente notación para representar un circuito entre las capas $l_1 \leq l_2$

$$U_{[l_1:l_2]} := V_{l_2}W_{l_2} \cdots V_{l_1}W_{l_1} . \quad (5)$$

Ejemplo

$$U_L(\theta) = U_{[l:L]}V_lW_lU_{[1:l]} , \quad (6)$$

Además, definiremos el siguiente estado para cada capa $l \in [L]$:

$$\psi_l := U_{[1:l]}|0\rangle . \quad (7)$$

Generadores hermitianos

Para cada capa $l \in [L]$ existen los generadores hermitianos K_i y K_j tales que,

$$\partial_i V_l(\theta_l) = -iK_i V_l(\theta_l) , \quad (8)$$

$$\partial_j V_l(\theta_l) = -iK_j V_l(\theta_l) , \quad (9)$$

$$[K_i, K_j] = 0$$

La conmutatividad de los operadores de derivadas parciales combinado con la unitariedad de $V_l(\theta_l)$ implica que $[K_i, K_j] = 0$.

Tomando la derivada parcial de (8) respecto a j y usando (9):

$$\partial_j \partial_i V_l(\theta_l) = -iK_i \partial_j V_l(\theta_l) \quad (10)$$

$$\partial_j \partial_i V_l(\theta_l) = (-iK_i)(-iK_j V_l(\theta_l)) \quad (11)$$

Por consiguiente

$$\partial_j \partial_i \mathbf{V}_l(\theta_l) = -\mathbf{K}_i \mathbf{K}_j \mathbf{V}_l(\theta_l) \quad (12)$$

Similarmente

$$\partial_i \partial_j V_l(\theta_l) = iK_j \partial_i V_l(\theta_l) \quad (13)$$

$$\partial_i \partial_j V_l(\theta_l) = (-iK_j)(-iK_i V_l(\theta_l)) \quad (14)$$

$$\partial_i \partial_j \mathbf{V}_l(\theta_l) = -\mathbf{K}_j \mathbf{K}_i \mathbf{V}_l(\theta_l) \quad (15)$$

De (12) y (15) tenemos que

$$(K_i K_j - K_j K_i) V_l(\theta_l) = 0 \quad (16)$$

Lo cual implica

$$[\mathbf{K}_i, \mathbf{K}_j] = \mathbf{0} \quad (17)$$

Usando (6), (8) y (9) calculamos

$$\partial_j U_L(\theta) = U_{(l:L]} \partial_j V_l(\theta_l) W_l U_{[1:l)} , \quad (18)$$

$$= U_{(l:L]} (-iK_j) V_l(\theta_l) W_l U_{[1:l)} , \quad (19)$$

$$= U_{(l:L]} (-iK_j) U_{[1:l)} . \quad (20)$$

Similarmente, tenemos que

$$\partial_i U_L(\theta)^\dagger = U_{[1:l)}^\dagger (iK_i^\dagger) U_{(l:L]}^\dagger . \quad (21)$$

Utilizando 20 y 21 y recordando que

$$\psi_\theta = U_\theta |0\rangle \quad (22)$$

$$\langle \partial_i \psi_\theta | \partial_j \psi_\theta \rangle = \langle 0 | U_{[1:l]}^\dagger (iK_i^\dagger) U_{(l:L)}^\dagger U_{(l:L)} (-iK_j) U_{[1:l]} | 0 \rangle \quad (23)$$

$$= \langle 0 | U_{[1:l]}^\dagger K_i^\dagger K_j U_{[1:l]} | 0 \rangle \quad (24)$$

$$= \langle 0 | U_{[1:l]}^\dagger K_i K_j U_{[1:l]} | 0 \rangle \quad (25)$$

$$= \langle \psi_l | K_i K_j | \psi_l \rangle \quad (26)$$

Finalmente

$$\langle \partial_i \psi_\theta | \partial_j \psi_\theta \rangle = \langle \psi_l | \mathbf{K}_i \mathbf{K}_j | \psi_l \rangle . \quad (27)$$

$$\begin{aligned}
 \langle\psi_\theta|\partial_j\psi_\theta\rangle &= \langle 0|U_L^\dagger(\theta)U_{(l:L)}(-iK_j)U_{[1:l]}|0\rangle \\
 &= \langle 0|U_{[1:l]}^\dagger W_l^\dagger V_l^\dagger U_{(l:L)}^\dagger U_{(l:L)}(-iK_j)U_{[1:l]}|0\rangle \\
 &= \langle 0|(V_l W_l U_{[1:l]})^\dagger(-iK_j)U_{[1:l]}|0\rangle \\
 &= -i\langle\psi_l|K_j|\psi_l\rangle
 \end{aligned}
 \tag{28}$$

Finalmente

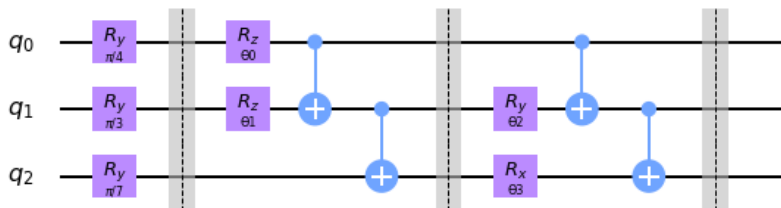
$$i\langle\psi_\theta|\partial_j\psi_\theta\rangle = \langle\psi_l|K_j|\psi_l\rangle \tag{29}$$

Combinando estas expresiones obtenemos:

$$G'_{ij}(\theta) = \left\langle \frac{\partial \psi_\theta}{\partial \theta^i}, \frac{\partial \psi_\theta}{\partial \theta^j} \right\rangle - \left\langle \frac{\partial \psi_\theta}{\partial \theta^i}, \psi_\theta \right\rangle \left\langle \psi_\theta, \frac{\partial \psi_\theta}{\partial \theta^j} \right\rangle \quad (30)$$

$$= \langle \psi_I | K_i K_j | \psi_I \rangle - [i \langle \psi_I | K_i | \psi_I \rangle] [-i \langle \psi_I | K_j | \psi_I \rangle] \quad (31)$$

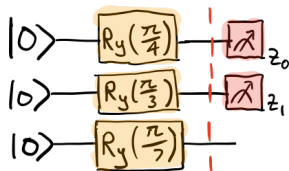
$$= \langle \psi_I | K_i K_j | \psi_I \rangle - \langle \psi_I | K_i | \psi_I \rangle \langle \psi_I | K_j | \psi_I \rangle \quad (32)$$



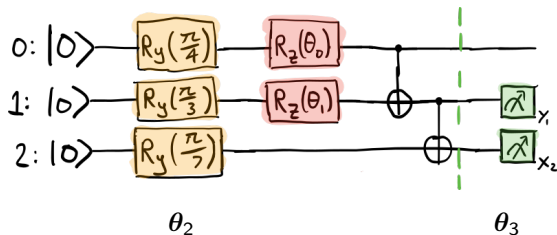
$$G = \begin{bmatrix} 0.125 & 0 & 0 & 0 \\ 0 & 0.185 & 0 & 0 \\ 0 & 0 & 0.24973433 & 0 \\ 0 & 0 & 0 & 0.20293623 \end{bmatrix}$$

$$G = \begin{pmatrix} G^{(0)} & 0 \\ 0 & G^{(1)} \end{pmatrix} \quad (33)$$

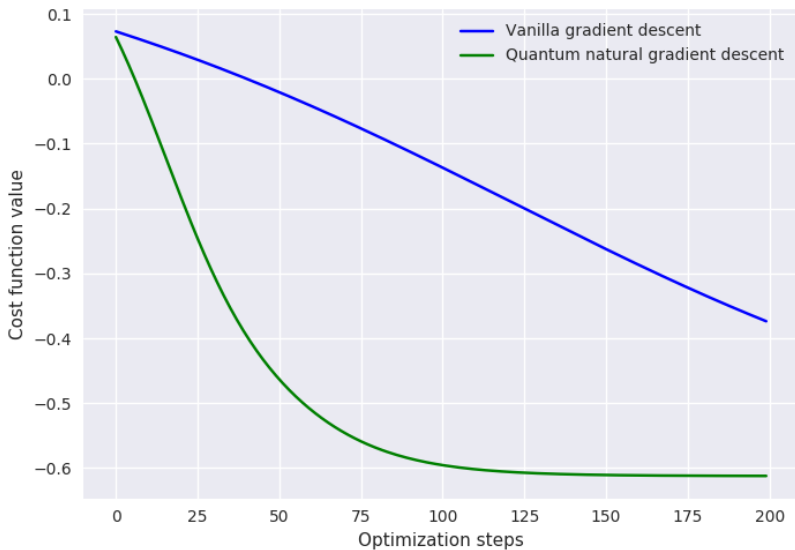
- Una matriz de 2×2 para la capa 0
- Una matriz de 2×2 para la capa 1



$$G^{(0)} = \begin{matrix} & \theta_0 & & \theta_1 \\ \theta_0 & \left(\begin{array}{cc} \langle z_0^2 \rangle - \langle z_0 \rangle^2 & \langle z_0 z_1 \rangle - \langle z_0 \rangle \langle z_1 \rangle \\ \langle z_0 z_1 \rangle - \langle z_0 \rangle \langle z_1 \rangle & \langle z_1^2 \rangle - \langle z_1 \rangle^2 \end{array} \right) & \theta_1 & \end{matrix} \quad (34)$$



$$G^{(0)} = \begin{matrix} \theta_2 & \theta_3 \\ \theta_2 \left(\begin{array}{cc} \langle y_1^2 \rangle - \langle y_1 \rangle^2 & \langle y_1 x_2 \rangle - \langle y_1 \rangle \langle x_2 \rangle \\ \langle y_1 x_2 \rangle - \langle y_1 \rangle \langle x_2 \rangle & \langle x_2^2 \rangle - \langle x_2 \rangle^2 \end{array} \right) \end{matrix} \quad (35)$$



$$\psi_{\theta} = \sum_{x \in [M]} \sqrt{p_{\theta}(x)} |x\rangle . \quad (36)$$

Por regla de la cadena

$$\frac{\partial \psi_{\theta}}{\partial \theta^i} = \frac{1}{2} \sum_{x \in [M]} \frac{1}{\sqrt{p_{\theta}(x)}} \frac{\partial p_{\theta}(x)}{\partial \theta^i} |x\rangle . \quad (37)$$

$$\left\langle \psi_\theta, \frac{\partial \psi_\theta}{\partial \theta^i} \right\rangle = \frac{1}{2} \sum_{x \in [N]} \sum_{x' \in [N]} \frac{\sqrt{p_\theta(x')}}{\sqrt{p_\theta(x)}} \frac{\partial p_\theta(x)}{\partial \theta^i} \langle x' | x \rangle , \quad (38)$$

$$= \frac{1}{2} \sum_{x \in [N]} \frac{\partial p_\theta(x)}{\partial \theta^i} , \quad (39)$$

$$= \frac{1}{2} \frac{\partial}{\partial \theta^i} \sum_{x \in [N]} p_\theta(x) , \quad (40)$$

$$= \frac{1}{2} \frac{\partial}{\partial \theta^i} 1 , \quad (41)$$

$$= 0 , \quad (42)$$

donde hemos utilizado $\langle x' | x \rangle = \delta_{xx'}$.

$$G_{ij}(\theta) = \left\langle \frac{\partial \psi_\theta}{\partial \theta^i}, \frac{\partial \psi_\theta}{\partial \theta^j} \right\rangle, \quad (43)$$

$$= \frac{1}{4} \sum_{x \in [N]} \sum_{x' \in [N]} \frac{1}{\sqrt{p_\theta(x)p_\theta(x')}} \frac{\partial p_\theta(x)}{\partial \theta^i} \frac{\partial p_\theta(x')}{\partial \theta^j} \langle x'|x \rangle, \quad (44)$$

$$= \frac{1}{4} \sum_{x \in [N]} \frac{1}{p_\theta(x)} \frac{\partial p_\theta(x)}{\partial \theta^i} \frac{\partial p_\theta(x)}{\partial \theta^j}, \quad (45)$$

$$= \frac{1}{4} \sum_{x \in [N]} p_\theta(x) \frac{\partial \log p_\theta(x)}{\partial \theta^i} \frac{\partial \log p_\theta(x)}{\partial \theta^j}, \quad (46)$$

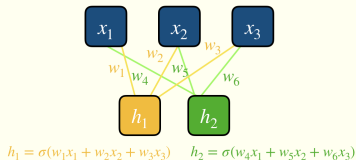
$$= \frac{1}{4} I_{ij}(\theta). \quad (47)$$

- ▶ QNN es una red neuronal artificial (ANN) incluida en un sistema con computación cuántica.
- ▶ Los investigadores intentan desarrollar algoritmos más eficientes en la clasificación de patrones o aprendizaje automático que lo que está disponible ahora en las capacidades de ANN.
- ▶ La computación cuántica promete acelerar el entrenamiento de las redes neuronales clásicas y la computación de aplicaciones de big data, generando resultados más rápidos.

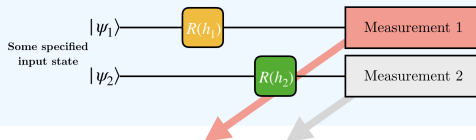
Las ventajas de QNN incluyen lo siguiente:

- ▶ menor número de neuronas ocultas proporcionan un mayor rendimiento
- ▶ aprendizaje rápido
- ▶ problemas linealmente inseparables para soluciones de red de capa única

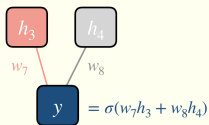
Classical



Quantum



Classical



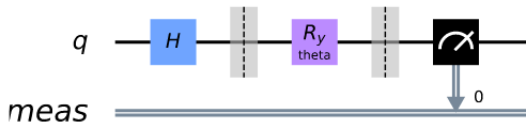
Si en un circuito cuántico

$$f(\theta) = \langle \Psi | U_G^\dagger(\theta) A U_G(\theta) | \Psi \rangle ,$$

donde $U_G(\theta) = e^{-ia\theta G}$, a es un número real y G es un operador hermitiano con eigenvalores e_0 y e_1 . Entonces

$$\frac{d}{d\theta} f(\theta) = r \left[f\left(\theta + \frac{\pi}{4r}\right) - f\left(\theta - \frac{\pi}{4r}\right) \right] , \quad (48)$$

con $r = a/2(e_1 - e_0)$.



$$|\psi\rangle = H|0\rangle \quad (49)$$

$$R_y(\theta) = e^{-\frac{\theta Y}{2}} \quad (50)$$

$$Y = \begin{pmatrix} 0 & -i \\ i & 0 \end{pmatrix} \quad (51)$$

$$e = \pm 1 \quad (52)$$

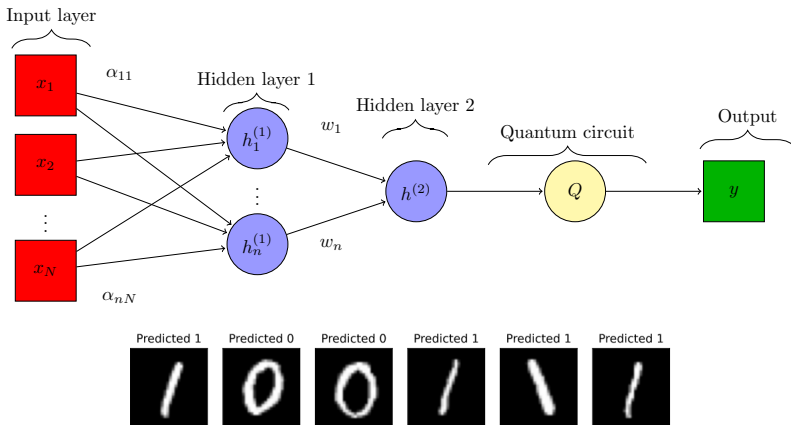
$$f(\theta) = \langle \psi | R_y(\theta) \sigma_z R_y(\theta) | \psi \rangle \quad (53)$$

$$X = \begin{pmatrix} 0 & 1 \\ 1 & 0 \end{pmatrix} \quad (54)$$

$$r = \frac{a}{2}(e_1 - e_0) = \frac{1}{4}(1 - (-1)) = \frac{1}{2} \quad (55)$$

$$\text{shift} = \frac{\pi}{4r} = \frac{\pi}{2} \quad (56)$$

$$\frac{df(\theta)}{d\theta} = \Delta Q = \frac{1}{2} \left[f\left(\theta + \frac{\pi}{2}\right) - f\left(\theta - \frac{\pi}{2}\right) \right] \quad (57)$$



$$J = -t \log(y) - (1 - t) \log(1 - y) \quad (58)$$

$$y(\theta) = \langle \psi | R_y(\theta) \sigma_z R_y(\theta) | \psi \rangle \quad (59)$$

$$\frac{dy}{d\theta} = \Delta Q \quad (60)$$

$$\theta = h^{(2)} = \sum_j w_j h_j^{(1)} \quad (61)$$

$$h_j^{(1)} = \frac{1}{1 + e^{-z_j}} \quad (62)$$

$$z_j = \sum_i \alpha_{ji} x_i \quad (63)$$

$$\frac{\partial J}{\partial w_j} = \frac{\partial J}{\partial y} \frac{\partial y}{\partial \theta} \frac{\partial \theta}{\partial w_j} \quad (64)$$

$$(65)$$

$$\frac{\partial J}{\partial y} = \frac{\partial}{\partial y} (-t \log(y) - (1 - t) \log(1 - y)) \quad (66)$$

$$= -\frac{t}{y} + \frac{(1 - t)}{(1 - y)} \quad (67)$$

$$= \frac{-t(1 - y) + y(1 - t)}{y(1 - y)} \quad (68)$$

$$= \frac{-t + ty + y - yt}{y(1 - y)} \quad (69)$$

$$= \frac{y - t}{y(1 - y)} \quad (70)$$

$$\frac{\partial \theta}{\partial w_j} = \frac{\partial}{\partial w_j} \left(\sum_i w_i h_i^{(1)} \right) \quad (71)$$

$$= h_j^{(1)} \quad (72)$$

$$\Delta w_j = -\alpha \frac{\partial J}{\partial w_j} = -\alpha \left[\frac{y - t}{y(1 - y)} \right] \Delta Q h_j^{(1)} \quad (73)$$

$$\frac{\partial J}{\partial \alpha_{ji}} = \frac{\partial J}{\partial h_j^{(1)}} \frac{\partial h_j^{(1)}}{\partial z_j} \frac{\partial z_j}{\partial \alpha_{ji}} \quad (74)$$

$$\frac{\partial z_j}{\partial \alpha_{ji}} = \frac{\partial}{\partial \alpha_{ji}} \left[\sum_k \alpha_{jk} x_k \right] = x_i \quad (75)$$

$$\frac{\partial h_j^{(1)}}{\partial z_j} = \frac{\partial}{\partial z_j} \left(\frac{1}{1 + e^{-z_j}} \right) \quad (76)$$

$$= - (1 + e^{-z_j})^{-2} e^{-z_j} (-1) \quad (77)$$

$$= (1 + e^{-z_j})^{-1} (1 + e^{-z_j})^{-1} e^{-z_j} \quad (78)$$

$$= h_j^{(1)} \left(\frac{e^{-z_j}}{1 + e^{-z_j}} \right) \quad (79)$$

$$= h_j^{(1)} \left(\frac{e^{-z_j} + 1 - 1}{1 + e^{-z_j}} \right) \quad (80)$$

$$= h_j^{(1)} \left(\frac{e^{-z_j} + 1}{1 + e^{-z_j}} - \frac{1}{1 + e^{-z_j}} \right) \quad (81)$$

$$= h_j^{(1)} (1 - h_j^{(1)}) \quad (82)$$

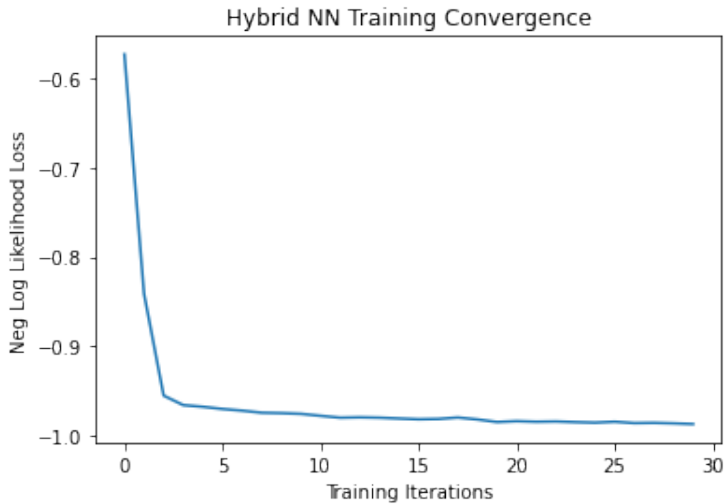
$$\frac{\partial J}{\partial \alpha_{ji}} = \frac{\partial J}{\partial h_j^{(1)}} \frac{\partial h_j^{(1)}}{\partial z_j} \frac{\partial z_j}{\partial \alpha_{ji}} \quad (83)$$

$$= \frac{\partial J}{\partial h_j^{(1)}} h_j^{(1)} (1 - h_j^{(1)}) x_i \quad (84)$$

$$= \delta_j x_i \quad (85)$$

$$\Delta \alpha_{ji} = -\alpha \frac{\partial J}{\partial \alpha_{ji}} \quad (86)$$

$$= -\alpha \delta_j x_i \quad (87)$$





Berry Phases in Electronic Structure Theory

David Vanderbilt

Rutgers University

2018



Experimental Measurement of the Quantum Metric Tensor and Related Topological Phase Transition with a Superconducting Qubit

"Tan, Xinsheng and Zhang, Dan-Wei and Yang, Zhen and Chu, Ji and Zhu, Yan-Qing and Li, Danyu and Yang, Xiaopei and Song, Shuqing and Han, Zhikun and Li, Zhiyuan and others"

"Physical review letters"

volume=122, number=21, pages=210401, year=2019,
publisher=APS



Adiabatic approximation

B. Zwiebach

june 2, 2017



S. Amari and S. C. Douglas

"Why natural gradient?

" Proceedings of the 1998 IEEE International Conference on Acoustics, Speech and Signal Processing, ICASSP '98 (Cat. No.98CH36181)

Seattle, WA, USA, 1998, pp. 1213-1216 vol.2.

doi: 10.1109/ICASSP.1998.675489



Quantum Natural Gradient

James Stokes and Josh A. Izaac and Nathan Killoran and Giuseppe Carleo

journal=ArXiv,

year=2019,

volume=abs/1909.02108



Ville Bergholm et al

PennyLane: Automatic differentiation of hybrid quantum- classical computations

arXiv: 1811.04968v3 [quant-ph]

14 Feb 2020



Gavin E. Crooks

Gradients of parameterized quantum gates using the parameter-shift rule and gatedecomposition

arXiv: 1905.13311v1 [quant-ph]

30 May 2019